

УДК 539.3

## ВОЛНЫ В СТЕРЖНЕ ПРИ ДЕЙСТВИИ ИМПУЛЬСНОЙ НАГРУЗКИ

Р. Г. Якупов

Институт механики Уфимского научного центра РАН, 450054 Уфа  
E-mail: imran@anrb.ru

Рассмотрены волновые процессы в полубесконечном стержне, находящемся в упругой среде, при ударном воздействии внешней распределенной нагрузки. С использованием преобразования Лапласа по времени решена система двух дифференциальных уравнений движения теории балок Тимошенко. Полученные интегралы определены численно. Показано изменение прогиба и изгибающего момента по продольной координате в различные моменты времени.

Ключевые слова: волны деформаций и напряжений, стержень, преобразование Лапласа.

В последнее время волновые решения задач находят новые технические приложения, поэтому определение волн деформаций и напряжений в инженерных сооружениях большой протяженности при действии динамических нагрузок является актуальным. Например, стержень является моделью подземного магистрального трубопровода. Зная промежуток времени между прибытием продольной и поперечной волн, можно определить расстояние от центра возмущения до регистрирующей станции.

Задачи, близкие к рассматриваемой ниже, решены в [1, 2], где предполагается, что силовые и кинематические факторы приложены к торцу изолированного стержня.

Начало координат поместим в начальном сечении полубесконечного стержня, направив ось  $x$  вдоль его оси. Полагается, что внешняя нагрузка описывается выражением

$$p(x, t) = \begin{cases} p_0(1 - x/a)H(t), & 0 \leq x \leq a, \quad t > 0, \\ 0, & x > a, \quad t < 0, \end{cases}$$

где  $t$  — время;  $H$  — функция Хевисайда:

$$H(t) = \begin{cases} 1, & t > 0, \\ 0, & t < 0. \end{cases}$$

Грунт, окружающий трубопровод, моделируется основанием Винклера; считается, что сопротивление грунта пропорционально прогибу:

$$p_* = \alpha W$$

( $\alpha$  — жесткость основания;  $W$  — прогиб). Коэффициент  $\alpha$  для грунтов находим по формуле [3]

$$\alpha = 0,12E_*(b/l_0)^{1/2}/(1 - \mu_*^2).$$

Здесь  $E_*$ ,  $\mu_*$  — модуль упругости и коэффициент Пуассона для грунта;  $b$  — ширина сечения стержня;  $l_0$  — единичная длина.

Используя безразмерные величины

$$\xi = \frac{x}{r}, \quad w = \frac{W}{r}, \quad \tau = \frac{c_1 t}{r}, \quad m = \frac{Mr}{EJ}, \quad \beta = \frac{r}{a}, \quad r^2 = \frac{J}{F}$$

( $r$  — радиус инерции;  $F, J$  — площадь и момент инерции поперечного сечения стержня), с учетом деформации сдвига и инерции вращения уравнения движения запишем в перемещениях в безразмерном виде [4]:

$$\begin{aligned} \frac{\partial^2 w}{\partial \xi^2} - \frac{\partial \theta}{\partial \xi} - \gamma \frac{\partial^2 w}{\partial \tau^2} - \zeta w &= -k(1 - \beta\xi)H(\tau), \\ \frac{\partial w}{\partial \xi} - \theta + \gamma \left( \frac{\partial^2 \theta}{\partial \xi^2} - \frac{\partial^2 \theta}{\partial \tau^2} \right) &= 0. \end{aligned} \quad (1)$$

Здесь  $\gamma = c_1^2/c_2^2$ ;  $\zeta = r^2\alpha/(\rho F c_2^2)$ ;  $k = p_0 r/(\rho F c_2^2)$ ;  $c_1^2 = E/\rho$ ;  $c_2^2 = k'G/\rho$ ;  $c_1, c_2$  — скорости распространения продольной и поперечной волн;  $\theta$  — угол поворота сечения, обусловленного изгибающим моментом;  $\rho, E, G$  — плотность, модуль упругости и модуль сдвига материала стержня;  $k'$  — коэффициент, зависящий от формы поперечного сечения стержня (для прямоугольного сечения  $k' = 1,2$ , для круглого  $k' = 1,1$ ).

Применяя к системе (1) преобразование Лапласа по времени, получим

$$\begin{aligned} \frac{d^2 \bar{w}}{d\xi^2} - \frac{d\bar{\theta}}{d\xi} - (\gamma s^2 + \zeta)\bar{w} &= -(1 - \beta\xi)D, \\ \frac{d\bar{w}}{d\xi} + \gamma \frac{d^2 \bar{\theta}}{d\xi^2} - (\gamma s^2 + 1)\bar{\theta} &= 0. \end{aligned} \quad (2)$$

Здесь  $D = k/s$ ;  $s$  — параметр преобразования;  $\bar{w}, \bar{\theta}$  — изображения функций  $w$  и  $\theta$ . Исключив  $\bar{\theta}$  из системы (2), находим

$$\begin{aligned} \frac{d^4 \bar{w}}{d\xi^4} - (\gamma s^2 + s^2 + \zeta) \frac{d^2 \bar{w}}{d\xi^2} + (\gamma s^2 + 1) \left( s^2 + \frac{\zeta}{\gamma} \right) \bar{w} &= (1 - \beta\xi)D \left( s^2 + \frac{1}{\gamma} \right), \\ \bar{\theta} = \frac{\gamma}{\gamma s^2 + 1} \left[ \frac{d^3 \bar{w}}{d\xi^3} - \left( \gamma s^2 + \zeta - \frac{1}{\gamma} \right) \frac{d\bar{w}}{d\xi} - \beta D \right]. \end{aligned} \quad (3)$$

Решение системы (3) имеет вид

$$\begin{aligned} \bar{w} &= A_1 e^{-\lambda_1 \xi} + A_2 e^{-\lambda_2 \xi} + \frac{(1 - \beta\xi)D}{\gamma s^2 + \zeta}, \\ \bar{\theta} &= (\lambda_1^2 - \gamma s^2 - \zeta) \frac{A_1}{-\lambda_1} e^{-\lambda_1 \xi} + (\lambda_2^2 - \gamma s^2 - \zeta) \frac{A_2}{-\lambda_2} e^{-\lambda_2 \xi} - \frac{\beta D}{(\gamma s^2 + \zeta)(\gamma s^2 + 1)}, \end{aligned} \quad (4)$$

где  $A_1, A_2$  — постоянные интегрирования первого уравнения в (3);  $\lambda_{1,2}$  — два (из четырех) корня характеристического уравнения

$$\lambda^4 - [(\gamma + 1)s^2 + \zeta]\lambda^2 + (\gamma s^2 + \zeta)(s^2 + 1/\gamma) = 0, \quad (5)$$

удовлетворяющих условию затухания  $\bar{w}$  и  $\bar{\theta}$  на бесконечности. Корни  $\lambda_{1,2}$  уравнения (5) представим в виде

$$\lambda_{1,2}^2 = \frac{(\gamma + 1)s^2 + \zeta}{2} \pm \frac{f}{a},$$

где  $f = \sqrt{(s^2 - a_1^2)(s^2 - a_2^2)}$ ;  $a_{1,2}^2 = (a/2)[a - \zeta \pm a\sqrt{1 - (\gamma - 1)\zeta/\gamma}]$ ;  $a = 2/(\gamma - 1)$ .

Рассмотрим два вида опорного устройства в начальном сечении: шарнирное закрепление и заделку. При шарнирном закреплении граничные условия для изображений имеют вид

$$\xi = 0: \quad \bar{w}(0, \tau) = \frac{\partial \bar{\theta}(0, \tau)}{\partial \xi} = 0,$$

постоянные интегрирования равны

$$A_1 = -D \frac{\lambda_2^2 - \gamma s^2 - \zeta}{(\lambda_2^2 - \lambda_1^2)(\gamma s^2 + \zeta)}, \quad A_2 = D \frac{\lambda_1^2 - \gamma s^2 - \zeta}{(\lambda_2^2 - \lambda_1^2)(\gamma s^2 + \zeta)}. \quad (6)$$

В случае заделки на опоре углы поворота и сдвига равны нулю:

$$\xi = 0: \quad \bar{\theta}(0, \tau) = 0, \quad \frac{\partial \bar{w}(0, \tau)}{\partial \xi} - \bar{\theta}(0, \tau) = 0,$$

а постоянные интегрирования равны

$$A_1 = \frac{\beta \lambda_1 D}{(\lambda_2^2 - \lambda_1^2)(\gamma s^2 + 1)} \left[ 1 + \frac{\lambda_2^2}{\gamma s^2 + \zeta} \left( \frac{1}{\gamma s^2 + \zeta} - 1 \right) \right],$$

$$A_2 = -\frac{\beta \lambda_2 D}{(\lambda_2^2 - \lambda_1^2)(\gamma s^2 + 1)} \left[ 1 + \frac{\lambda_1^2}{\gamma s^2 + \zeta} \left( \frac{1}{\gamma s^2 + \zeta} - 1 \right) \right].$$

Изгибающий момент определяется по формуле

$$m = \frac{d\theta}{d\xi}. \quad (7)$$

В случае шарнирного закрепления из (4), (6), (7) находим

$$\bar{w} = \frac{k}{s(\gamma s^2 + \zeta)} \left( 1 - \beta \xi - \frac{1}{2} (e^{-\lambda_1 \xi} + e^{-\lambda_2 \xi}) - \frac{2s^2 + a}{4f} (e^{-\lambda_1 \xi} - e^{-\lambda_2 \xi}) \right),$$

$$\bar{m} = \frac{ak}{2\gamma f s} (e^{-\lambda_1 \xi} - e^{-\lambda_2 \xi}). \quad (8)$$

Оригиналы функций определим с помощью формулы обращения

$$\frac{1}{2\pi i} \int_L F(s) e^{\tau s} ds = \begin{cases} f(\tau), & \tau > 0, \\ 0, & \tau < 0, \end{cases}$$

где  $L$  — контур Бромвича, представляющий собой вертикальную прямую с абсциссой  $c > 0$  и ординатой, уходящей в бесконечность.

Для того чтобы перейти к вещественным интегралам, выражения (8) представим в виде

$$w(\xi, \tau) = \frac{k}{2\pi i} (I_0 + I_1 + I_2), \quad m(\xi, \tau) = \frac{ak}{4\pi i \gamma} (I_4 - I_3). \quad (9)$$

Здесь

$$I_1 = I_1' + I_1'', \quad I_2 = I_2' + I_2'', \quad I_0 = \int_L \frac{(1 - \beta \xi) e^{\tau s}}{s(\gamma s^2 + \zeta)} ds,$$

$$I_1' = - \int_L \frac{e^{\tau s - \lambda_2 \xi}}{2s(\gamma s^2 + \zeta)} ds, \quad I_1'' = \int_L \frac{(2s^2 + a) e^{\tau s - \lambda_2 \xi}}{4fs(\gamma s^2 + \zeta)} ds, \quad I_2' = - \int_L \frac{e^{\tau s - \lambda_1 \xi}}{2s(\gamma s^2 + \zeta)} ds,$$

$$I_2'' = - \int_L \frac{(2s^2 + a) e^{\tau s - \lambda_1 \xi}}{4fs(\gamma s^2 + \zeta)} ds, \quad I_3 = - \int_L \frac{e^{\tau s - \lambda_2 \xi}}{fs} ds, \quad I_4 = \int_L \frac{e^{\tau s - \lambda_1 \xi}}{fs} ds.$$

При  $s \rightarrow \infty$  все подынтегральные функции в (9) стремятся к нулю,  $\lambda_1$  и  $\lambda_2$  стремятся к постоянным величинам:

$$\lim_{s \rightarrow \infty} (\lambda_2/s) = 1, \quad \lim_{s \rightarrow \infty} (\lambda_1/s) = \sqrt{\gamma}. \quad (10)$$

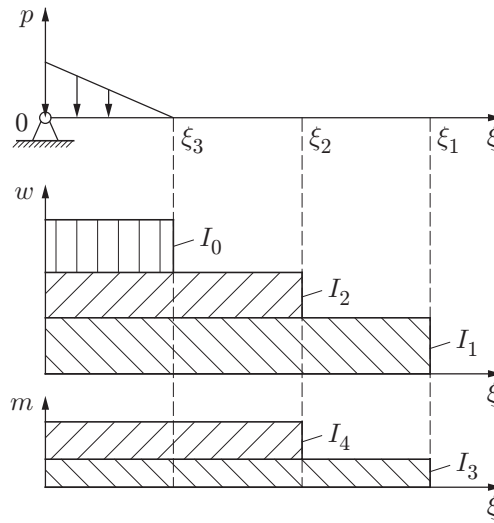


Рис. 1. Распределение возмущений вдоль стержня в фиксированный момент времени

Из формулы обращения и (10) следует, что возмущения распространяются вдоль стержня в виде двух волн со скоростями  $c_1$  и  $c_2$ . Область распространения возмущения разбивается фронтами волн на две части. В любой момент времени  $\tau$  координаты фронтов определяются величинами  $\xi_1 = \tau$ ,  $\xi_2 = \tau/\sqrt{\gamma}$ . Область  $0 < \xi \leq \xi_1$  охвачена волной изгиба, параметры волны определяются интегралами  $I_1$  и  $I_3$ , которые не равны нулю при  $\xi_1 < \tau$  и равны нулю при  $\xi_1 > \tau$ . В интервале  $0 \leq \xi \leq \xi_2$  присутствуют волны изгиба и сдвига, параметры волны сдвига определяются интегралами  $I_2$  и  $I_4$ , которые не равны нулю при  $\xi < \tau/\sqrt{\gamma}$  и равны нулю при  $\xi > \tau/\sqrt{\gamma}$ . В интервале  $0 \leq \xi \leq \xi_3 = 1/\beta$  возникают также деформации, обусловленные действием внешней нагрузки, которые определяются интегралом  $I_0$ . Величина  $\xi_3$  постоянна и от времени не зависит. На рис. 1 показано распределение возмущений вдоль стержня в фиксированный момент времени.

Простые полюсы и точки ветвления подынтегральных функций в (9) приведены в табл. 1. Контуры интегрирования показаны на рис. 2. Контур интегрирования  $I'_1$  показан на рис. 2,а штриховой линией и представляет собой разрез вдоль мнимой оси от точки  $s = \pm ia_3$  до точки  $s = \pm ia_4$  и далее до полукруга большого радиуса.

Комплексные выражения в подынтегральных функциях (9) получены в работе [5] с учетом ограничений на их аргументы в зависимости от пути интегрирования и приведены

Таблица 1  
Полюсы и точки ветвления подынтегральных функций в (9)

Интеграл	Полюсы $s$	Точки ветвления $s$
$I_0$	$0; \pm ia_3$	—
$I'_1$	$0; \pm ia_3$	$\pm ia_3; \pm ia_4$
$I''_1$	$0; \pm ia_3$	$\pm a_1; \pm ia_2; \pm ia_3; \pm ia_4$
$I'_2$	$0; \pm ia_3$	—
$I''_2$	$0; \pm ia_3$	$\pm a_1; \pm ia_2$
$I_3$	0	$\pm a_1; \pm ia_2; \pm ia_3; \pm ia_4$
$I_4$	0	$\pm a_1; \pm ia_2$

Примечание.  $a_3 = (\zeta/\gamma)^{1/2}$ ,  $a_4 = (1/\gamma)^{1/2}$ .

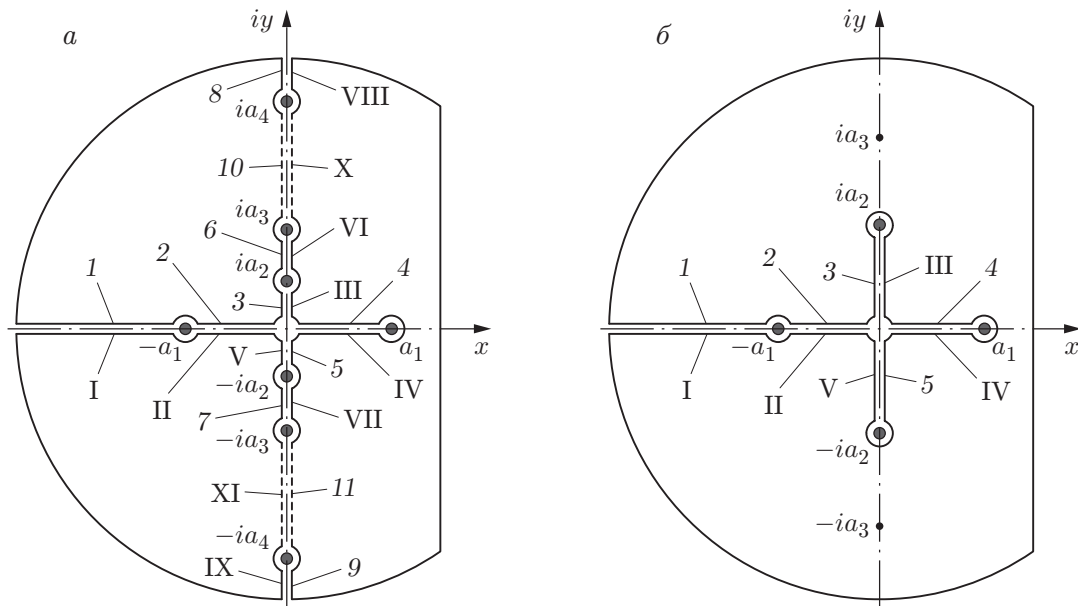


Рис. 2. Контуры интегрирования  $I_1, I_2$  (а) и  $I'_2, I_4$  (б):  
 1–11 и I–XI — противоположные берега пути интегрирования

в табл. 2 Интегралы в (9) вычислялись по формуле

$$I = \sum \text{res}(s) - \sum_{\gamma_i} \int,$$

где  $\gamma_i$  — пути интегрирования в положительном направлении по берегам разреза и дугам окружностей с бесконечно малым радиусом. При стремлении радиуса малой окружности к нулю длина пути интегрирования и соответственно интеграл стремятся к нулю. Интегралы по отрезкам контура интегрирования, обозначенным на рис. 2 цифрами 1 и I, и по всем берегам разреза вдоль мнимой оси взаимно уничтожаются. После вычисления интегралов находим

$$I_0 = I'_1 = 0, \quad I''_1 = -I''_2, \quad I_3 = I_4.$$

Выражения для прогиба и изгибающего момента имеют вид

$$\begin{aligned} w(\xi, \tau) &= \text{res}(s)_1 - I''_1, & m(\xi, \tau) &= -\text{res}(s)_3 + I_3, & \xi_2 \leq \xi \leq \xi_1, \\ w(\xi, \tau) &= \text{res}(s)_1 + \text{res}(s)_2, & m(\xi, \tau) &= -\text{res}(s)_3 + \text{res}(s)_4, & 0 \leq \xi \leq \xi_2, \end{aligned} \tag{11}$$

где

$$\begin{aligned} \text{res}(s)_1 &= -k \left[ \frac{e^{-\alpha_1 \xi}}{2\zeta} \left( \cos \beta_1 \xi - \frac{1}{\nu \zeta} \sin \beta_1 \xi \right) + \frac{\gamma(\zeta - 1)}{2\zeta^2} \cos a_3 \xi \right], \\ \text{res}(s)_2 &= -k \left[ \frac{e^{-\alpha_1 \xi}}{2\zeta} \left( \cos \beta_1 \xi + \frac{1}{\nu \zeta} \sin \beta_1 \xi \right) - \frac{1}{\zeta} - \frac{\gamma(\zeta - 1)}{2\zeta^2} \right], \\ \text{res}(s)_3 &= \frac{k}{\gamma \zeta \nu} \sin \beta_1 \xi, & \text{res}(s)_4 &= -\text{res}(s)_3, \\ T_0 &= e^{\tau x - \eta_2 \xi} \cos \eta_1 \xi - e^{-\tau x - \eta_1 \xi} \cos \eta_2 \xi, \end{aligned}$$

Таблица 2

Комплексные величины в подынтегральных выражениях интегралов  $I_i$  ( $i = 1, 2, 3, 4$ ) для различных путей интегрирования

Путь интегрирования	$s$	$s^2$	$f$	$\lambda_{1,2}$	Интервал изменения $x, y$
$\frac{1}{\text{I}}$	$-x$	$x^2$	$-f_1^*$	$\sqrt{R_1 \mp R_2}$	$-\infty \leq x \leq -a_1$
$\frac{2}{\text{II}}$	$-x$	$x^2$	$\pm i f_2^*$	$\frac{\eta_1 \pm i \eta_2}{\eta_1 \mp i \eta_2}$	$-a_1 \leq x \leq 0$
$\frac{4}{\text{IV}}$	$x$	$x^2$	$\pm i f_2^*$	$\frac{\eta_2 \pm i \eta_1}{\eta_2 \mp i \eta_1}$	$0 \leq x \leq a_1$
$\frac{3}{\text{III}}$	$iy$	$-y^2$	$i f_3^*$	$\eta_3 \pm i \eta_4$	$0 \leq y \leq a_2$
$\frac{5}{\text{V}}$	$-iy$	$-y^2$	$-i f_3^*$	$\eta_3 \mp i \eta_4$	$-a_2 \leq y \leq 0$
$\frac{6, \text{VI}}{7, \text{VII}}$	$\pm iy$	$-y^2$	$-f_4^*$	$\lambda_1 = i \eta_5$ $\lambda_2 = \eta_6$	$\frac{y \geq a_2}{y \leq -a_2}$

Примечания. 1.  $f_1^* = \sqrt{(x^2 - a_1^2)(x^2 + a_2^2)}$ ;  $f_2^* = \sqrt{(a_1^2 - x^2)(a_2^2 + x^2)}$ ;  $f_3^* = \sqrt{(a_1^2 + y^2)(a_2^2 - y^2)}$ ;  $f_4^* = \sqrt{(y^2 + a_2^2)(y^2 - a_2^2)}$ .

2. Арабские и римские цифры соответствуют отрезкам контура интегрирования на рис. 2.

$$I_1'' = -\frac{k}{4\pi} \int_0^{a_1} \frac{(2x^2 + a)T_0}{x f_2^*(\gamma x^2 + \zeta)} dx, \quad I_3 = -\frac{ak}{2\pi\gamma} \int_0^{a_1} \frac{T_0}{x f_2^*} dx,$$

$$\alpha_1 = \sqrt{(a_3 + \zeta/2)/2}, \quad \beta_1 = \sqrt{(a_3 - \zeta/2)/2}, \quad \nu = \sqrt{4/(\gamma\zeta) - 1},$$

$\text{res}(s)_i$  — вычеты подынтегральных функций в интегралах  $I_i$  ( $i = 1, 2, 3, 4$ ) соответственно.

Рассмотрим численный пример. Считаем, что сечение стержня прямоугольное,  $b = h = 0,1$  м,  $F = b \times h$ ,  $p_0 = 10$  кН/м,  $E = 2 \cdot 10^5$  МПа,  $\rho = 8$  т/м<sup>3</sup>,  $c_1 = 5 \cdot 10^3$  м/с,  $c_2 = 2,84 \cdot 10^3$  м/с,  $\zeta = 1,35 \cdot 10^{-2}$ ,  $k = 0,45 \cdot 10^{-6}$ ,  $\beta = 0,1$ ,  $\gamma = 3,1$ ,  $a = 0,95$ ,  $a_1 = 0,94$ ,  $a_2 = 0,051$ ,  $a_3 = 0,072$ ,  $a_4 = 0,225$ .

Расчеты проводились по формулам (11). В интеграле  $I_1''$  подынтегральная функция в точках  $x = 0$  и  $x = a_1$  имеет бесконечный разрыв, функция  $T_0$  является осциллирующей, поэтому при интегрировании по  $x$  обеспечивалось не менее 10 шагов в пределах длины полуволны. Нижний предел принимался равным  $\delta$ , верхний предел —  $a_1(1 - \delta)$ , где  $\delta = 10^{-15}$ . Таким образом определено главное значение несобственного интеграла. Вычисления проводились методом трапеций.

По результатам расчетов построены графики зависимостей  $w(\xi)$  и  $m(\xi)$  для двух моментов времени (рис. 3).

Из приведенных данных следует, что в зоне возмущения изменение прогиба и изгибающего момента имеет колебательный характер. В выражении для  $w$  преобладающее значение имеет слагаемое, содержащее множитель  $\cos a_3 \xi$ . Периоды функций  $\cos a_3 \xi$  и  $\cos \beta_1 \xi$  соответственно равны  $2\pi/a_3 = 87$ ,  $2\pi/\beta_1 = 35$  ( $\beta = 0,18$ ). В этом случае величины  $a_3$

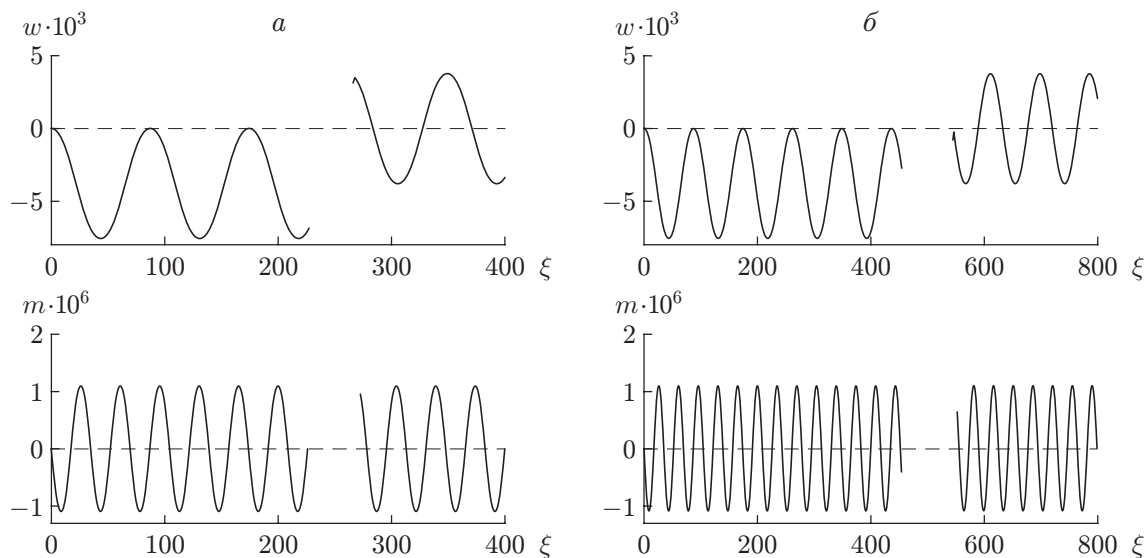


Рис. 3. Распределение прогиба и изгибающего момента вдоль стержня:  
 а —  $\tau = 400$ ; б —  $\tau = 800$

и  $\beta_1$  можно считать частотами колебаний. Отношение периодичностей и частот колебаний равно  $\beta_1/a_3 = 2,5$ . Колебания прогиба в интервале  $0 \leq \xi \leq \xi_2$  происходят около деформированного состояния  $w = -k\gamma(\zeta - 1)/(2\zeta^2)$  с частотой  $a_3$ , в интервале  $\xi_2 \leq \xi \leq \xi_1$  — около начального состояния с такой же частотой. Изгибающий момент изменяется около начального состояния с частотой  $\beta_1$ .

#### ЛИТЕРАТУРА

1. **Boley В. А., Chao С. С.** Some solutions of the Timoshenko beam equations // Trans. ASME. Ser. E. J. Appl. Mech. 1955. V. 77. P. 579–586.
2. **Plass Н. J.** Some solutions of the Timoshenko beam equations of short pulse — type loadings // Trans. ASME. Ser. E. J. Appl. Mech. 1985. V. 80. P. 379–385.
3. **Айнбиндер А. Б.** Расчет магистральных трубопроводов на прочность и устойчивость / А. Б. Айнбиндер, А. Г. Камерштейн. М.: Недра, 1982.
4. **Тимошенко С. П.** Колебания в инженерном деле / С. П. Тимошенко, Д. Х. Янг, У. Уивер. М.: Наука, 1985.
5. **Якупов Р. Г.** Волны напряжения в стержне при действии подвижной нагрузки // ПМТФ. 2007. Т. 48, № 2. С. 112–122.

Поступила в редакцию 9/IV 2007 г.